

Aula 14

LEI DE BIOT-SAVART

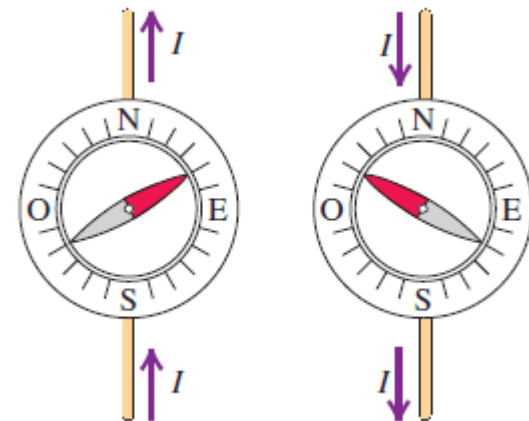
PARTE 1

EXPERIMENTO DE OERSTED

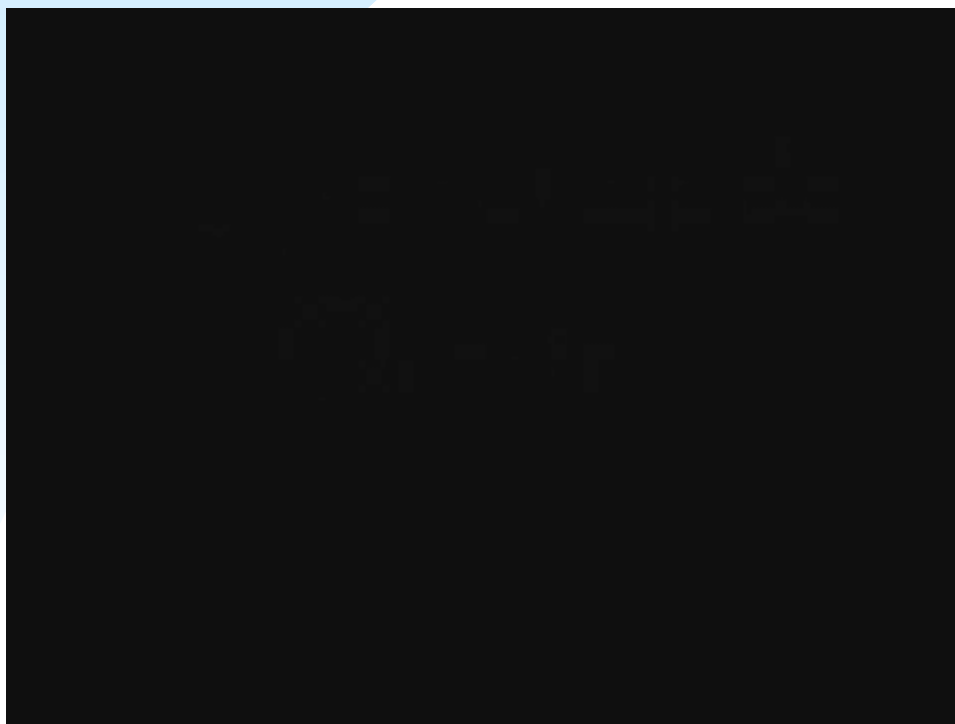
Em 1819 o físico dinamarquês **Hans Christian Oersted** observou que, quando a agulha de uma bússola é colocada próxima de uma corrente elétrica, essa agulha é desviada de sua posição. Esse deslocamento só é possível pela existência de um campo magnético em torno do condutor percorrido por corrente elétrica. Foi essa a primeira vez que se observou o aparecimento de um campo magnético juntamente com uma corrente elétrica.



O experimento mostra que a agulha aponta para o norte quando não há corrente e que oscila quando da presença de uma corrente elétrica.



EXPERIMENTO DE OERSTED



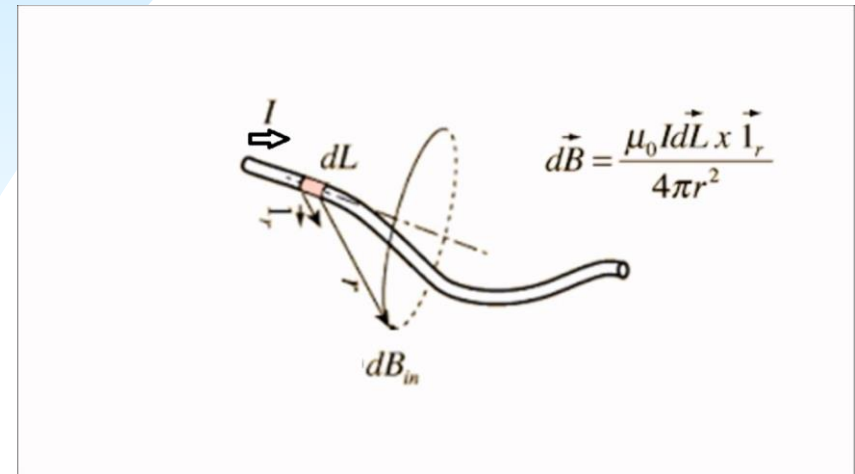
LEI DE BIOT-SAVART

A **Lei de Biot-Savart** determina o campo magnético $d\vec{B}$ gerado em um ponto P a uma distância r de um elemento de comprimento $d\vec{l}$ em um fio por onde se passa uma corrente I :

$$d\vec{B} = \frac{\mu_0}{4\pi} \frac{I d\vec{l} \times \hat{r}}{r^2}$$

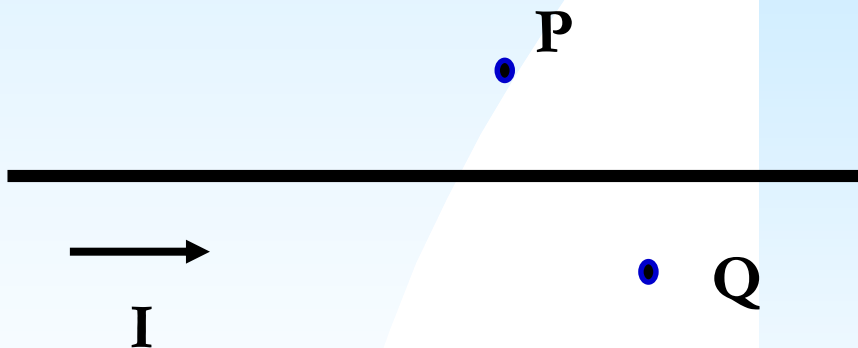
ou

$$\vec{B} = \frac{\mu_0}{4\pi} \int_a^b \frac{I d\vec{l} \times \hat{r}}{r^2}$$



Exemplo 1

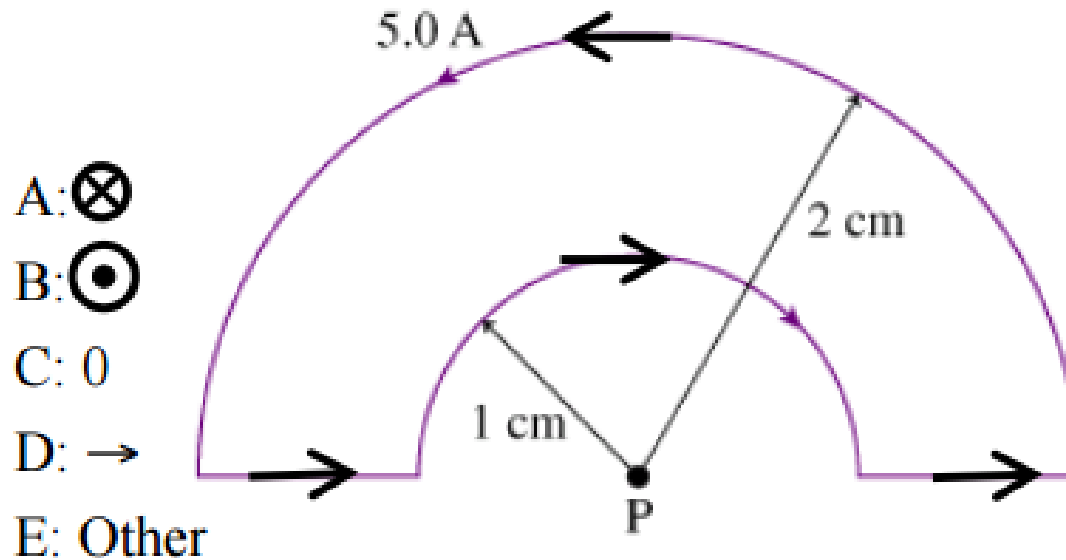
Qual a direção do campo magnético nos pontos P e Q?



| Ponto P | Ponto Q |
|------------------|------------------|
| A: \otimes | A: \otimes |
| B: \odot | B: \odot |
| C: 0 | C: 0 |
| D: \rightarrow | D: \rightarrow |
| E: Other | E: Other |

Exemplo 2

Qual a direção do campo magnético no ponto P?



Exemplo 3 Campo magnético de um condutor retilíneo finito transportando uma corrente.

Usando a Lei de Biot-Savart, determine o campo de indução magnética produzido por um fio de comprimento $2a$ a uma distância x do seu centro.

Solução

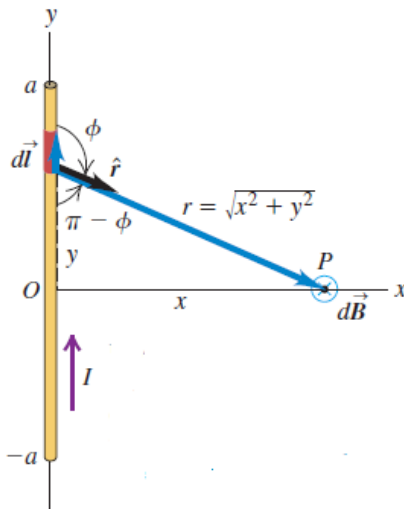
O campo produzido pela corrente I que passa por $d\vec{l}$ é:

$$d\vec{B} = \frac{\mu_0 I}{4\pi} \frac{d\vec{l} \times \hat{r}}{r^2}$$

sendo $d\vec{l} = dy \hat{j}$ e o versor \hat{r} dado por:

$\hat{r} = \sin(\pi - \phi) \hat{i} - \cos(\pi - \phi) \hat{j} = \sin(\phi) \hat{i} + \cos(\phi) \hat{j}$. Então:

$$\begin{aligned} d\vec{B} &= \frac{\mu_0}{4\pi} I \frac{dy \sin\phi (\hat{j} \times \hat{i}) + dy \cos\phi (\hat{j} \times \hat{j})}{r^2} \\ &= \frac{\mu_0}{4\pi} I \frac{\sin\phi dy}{r^2} (-\hat{k}) \end{aligned}$$



Solução

Integrando:

$$\vec{B} = -\frac{\mu_0}{4\pi} I \int_{-a}^a \frac{\sin\phi \, dy}{r^2} \hat{k} = -\frac{\mu_0}{4\pi} I \int_{-a}^a \frac{\sin\phi \, dy}{x^2 + y^2} \hat{k}$$

Fazendo a mudança de variável $\frac{y}{x} = \tan\theta$ com $\theta = \phi - \frac{\pi}{2}$, obtém-se:

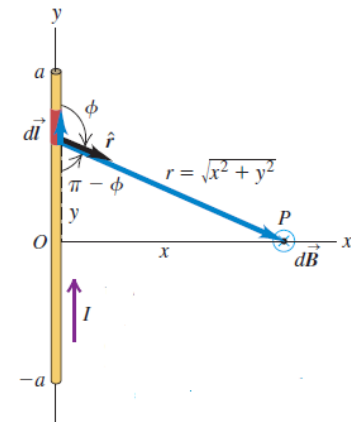
$$\vec{B} = -\frac{\mu_0}{4\pi} I \int_{-a}^a \frac{\sin\phi \, dy}{x^2 + y^2} \hat{k} = -\frac{\mu_0}{4\pi} \frac{I}{x^2} \int \frac{x \sec^2\theta \cos\theta \, d\theta}{1 + \tan^2\theta} \hat{k} = -\frac{\mu_0}{4\pi} \frac{I}{x} \sin(\theta) \hat{k}$$

Substituindo a função seno:

$$\vec{B} = -\frac{\mu_0}{4\pi} \frac{I}{x} \frac{y}{\sqrt{x^2 + y^2}} \hat{k} \Big|_{-a}^a$$

Com os limites de integração, resulta:

$$\vec{B} = -\frac{\mu_0}{4\pi} \frac{I}{x} \frac{2a}{\sqrt{x^2 + a^2}} \hat{k}$$



Exemplo 4 Campo magnético de um condutor retilíneo infinito transportando uma corrente.

Usando a Lei de Biot-Savart, determine o campo de indução magnética produzido por um fio infinito a uma distância x , como ilustra a figura.

Solução

A partir do resultado obtido no exemplo anterior:

$$\vec{B} = -\frac{\mu_0}{4\pi x} I (\sin(\theta_2) - \sin(\theta_1)) \hat{k}$$

De acordo com a definição ao ângulo θ ,

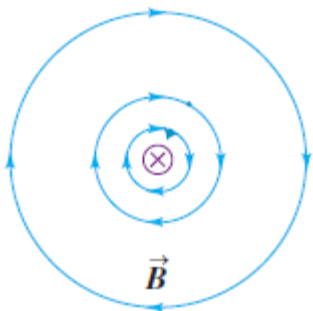
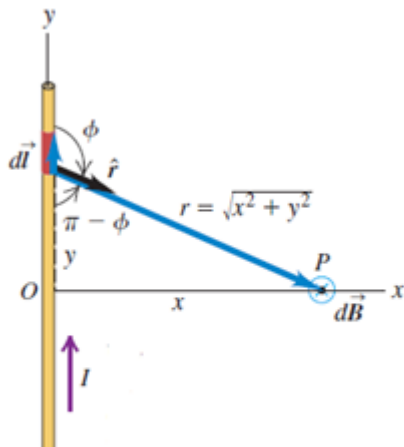
$$\frac{y}{x} = \tan \theta$$

tem-se que:

- para $y \rightarrow \infty$, então $\theta = \pi/2$;

- Para $y \rightarrow -\infty$, então $\theta = -\pi/2$. Portanto:

$$\vec{B} = -\frac{\mu_0}{2\pi x} I \hat{k}$$



Exemplo 5 Campo magnético de um condutor curvo transportando uma corrente.

Usando a Lei de Biot-Savart, determine o campo de indução magnética no centro de curvatura de um fio curvo (ponto O) produzido pela corrente I.

Solução

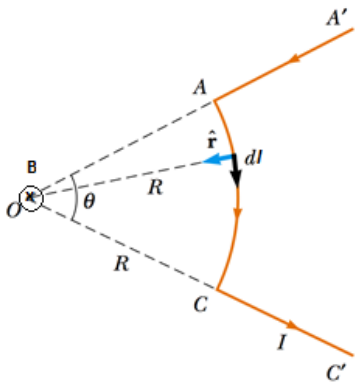
O campo produzido pela corrente I que passa por $d\vec{l}$ é:

$$d\vec{B} = \frac{\mu_0}{4\pi} \frac{I d\vec{l} \times \hat{r}}{r^2}$$

Observando que os vetores $d\vec{l}$ e \hat{r} são perpendiculares entre si, e que nos segmentos AA' e CC' eles são paralelos, tem-se:

$$\vec{B} = \frac{\mu_0}{4\pi} \frac{I}{R^2} \int_{\theta_1}^{\theta_2} R d\theta = \frac{\mu_0}{4\pi} \frac{I}{R} \Delta\theta (-\hat{k})$$

A direção do campo magnético é perpendicular aos vetores $d\vec{l}$ e \hat{r} , penetrando no papel. (Obs. Espira completa, $\Delta\theta = 2\pi$)



Rascunho

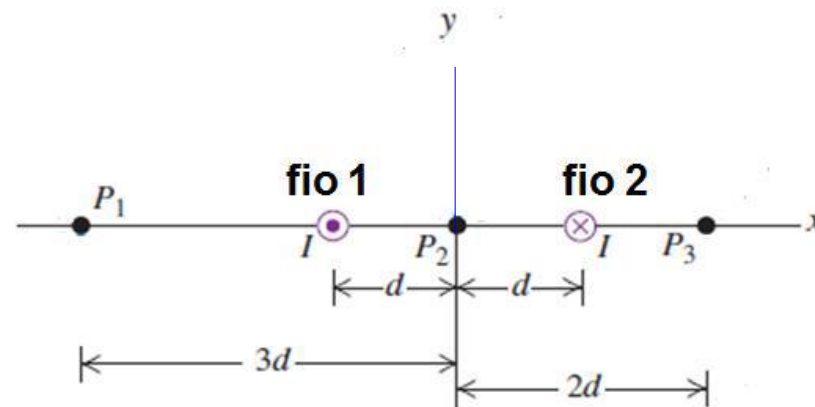


Exemplo 6

A figura mostra um plano xy que corta perpendicularmente dois fios longos paralelos, cada um deles conduzindo uma corrente I de mesmo módulo, porém sentidos contrários.

(a) Calcule o módulo, a direção e o sentido de \vec{B} nos pontos P_1 , P_2 e P_3 .

(b) Calcule o módulo, a direção e o sentido de \vec{B} nos pontos do eixo Ox à direita do fio 2, com base na coordenada x do ponto.



Rascunho



Rascunho



Solução

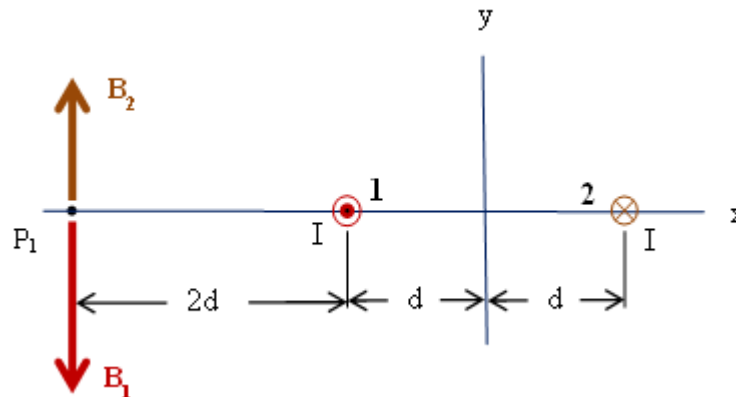
a) Campo no ponto P_1

A partir do resultado do **exemplo 2**, o módulo do vetor indução magnética é:

$$B = \frac{\mu_0 I}{2\pi x}$$

Os sentidos dos campos B_1 e B_2 representados na figura, são obtidos a partir da regra da mão direita. Assim, o campo resultante será:

$$B_{P1} = -B_1 + B_2 = -\frac{\mu_0 I}{2\pi (2d)} + \frac{\mu_0 I}{2\pi (4d)} = -\frac{\mu_0 I}{8\pi d}$$

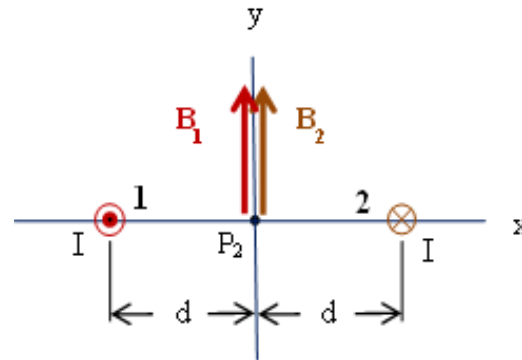


Continuação

Campo no ponto P_2

Em analogia ao item anterior, temos representados os campos B_1 e B_2 na figura. O campo resultante neste caso será:

$$B_{P_2} = B_1 + B_2 = \frac{\mu_0 I}{2\pi d} + \frac{\mu_0 I}{2\pi d} = \frac{\mu_0 I}{\pi d}$$



Continuação

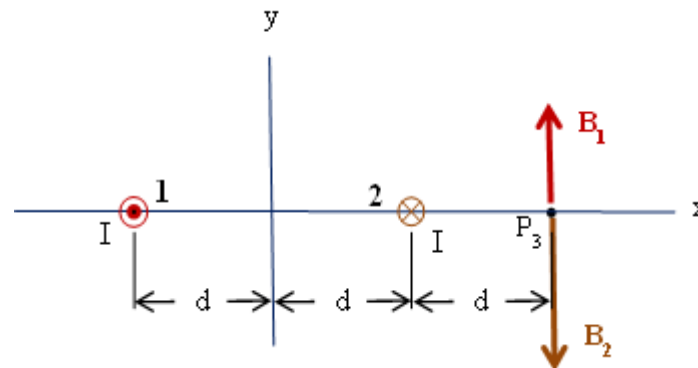
Campo no ponto P_3

A partir do resultado do exemplo 2, o módulo do vetor indução magnética é:

$$B = \frac{\mu_0 I}{2\pi x}$$

Os sentidos dos campos B_1 e B_2 representados na figura, são obtidos a partir da regra da mão direita. Assim, o campo resultante será:

$$B_{P_3} = B_1 - B_2 = \frac{\mu_0 I}{2\pi (3d)} - \frac{\mu_0 I}{2\pi d} = -\frac{\mu_0 I}{3\pi d}$$



Continuação

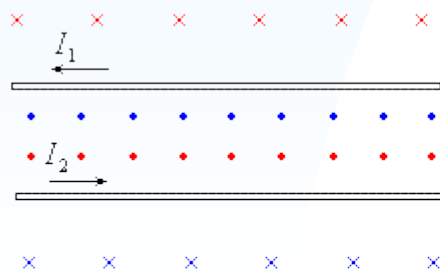
b) Campo a uma distância x do centro.

A partir do resultado do exemplo 2, o módulo do vetor indução magnética é:

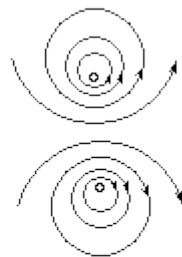
$$B = \frac{\mu_0 I}{2\pi x}$$

Os sentidos dos campos B_1 e B_2 representados na figura, são obtidos a partir da regra da mão direita. Assim, o campo resultante será:

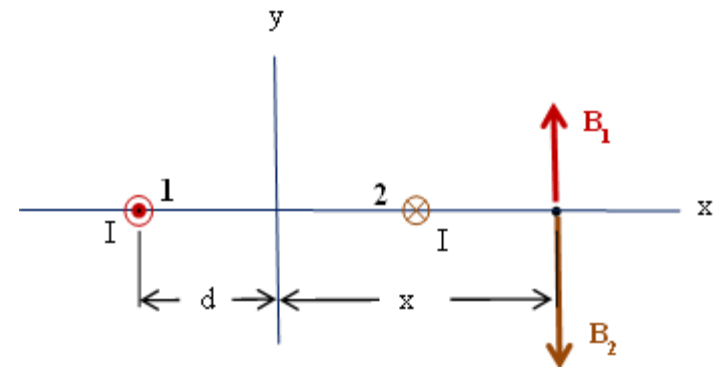
$$B_{P3} = B_1 - B_2 = \frac{\mu_0 I}{2\pi (x + d)} - \frac{\mu_0 I}{2\pi (x - d)} = -\frac{\mu_0 I}{\pi} \frac{d}{x^2 - d^2}$$



vista frontal

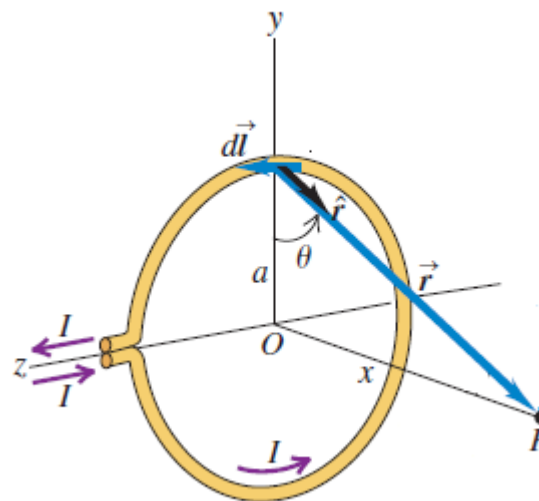


vista lateral esquerda



Exemplo 7 Campo de indução magnética de uma espira circular

A figura representa uma espira circular com raio a , conduzindo uma corrente I . Na espira, a corrente entra e sai através de dois fios retilíneos longos colocados um ao lado do outro. As correntes percorrem sentidos opostos de tal modo que nessa região (eixo z) o campo B é essencialmente nulo. Determinar o campo B e, um ponto P sobre o eixo da espira a uma distância x do centro.



Solução

Pela lei de Bio-Savart, temos que o campo gerado pela corrente I que passa por $d\vec{l}$ é dado por:

$$d\vec{B} = \frac{\mu_0}{4\pi} \frac{I d\vec{l} \times \hat{r}}{r^2}$$

A figura mostra que no ponto P, o campo $d\vec{B}$ pode ser decomposto na forma:

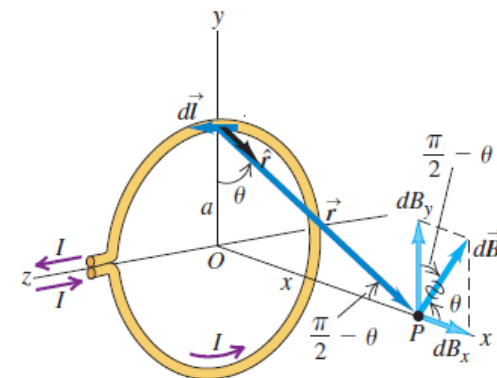
$$dB_x = dB \cos\theta$$

$$dB_y = dB \sin\theta$$

sendo

$$dB = \frac{\mu_0}{4\pi} \frac{I dl}{x^2 + a^2}$$

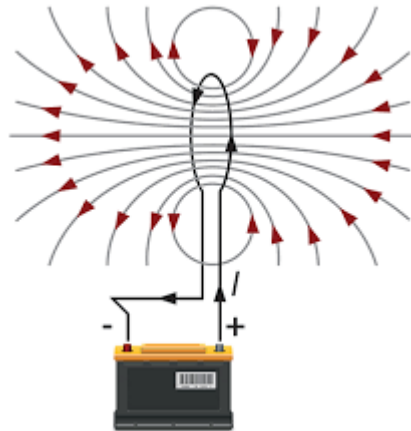
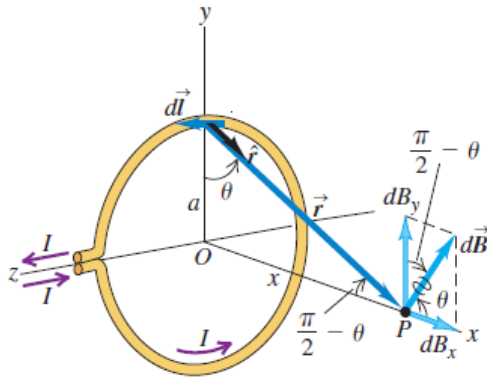
visto que $d\vec{l}$ e \vec{r} são perpendiculares. Como existe simetria rotacional em torno do eixo x , a componente dB_y é nula. Portanto, o campo resultante no ponto P será:



$$B = \frac{\mu_0}{4\pi} \int \frac{I dl}{x^2 + a^2} \frac{a}{\sqrt{x^2 + a^2}} = \frac{\mu_0}{4\pi} \frac{I a}{(x^2 + a^2)^{3/2}} \int dl = \frac{\mu_0}{2} \frac{I a^2}{(x^2 + a^2)^{3/2}}$$

Representação das linhas de campo magnético de uma espira de raio a

$$B = \frac{\mu_0 I}{2} \frac{a^2}{(x^2 + a^2)^{3/2}}$$

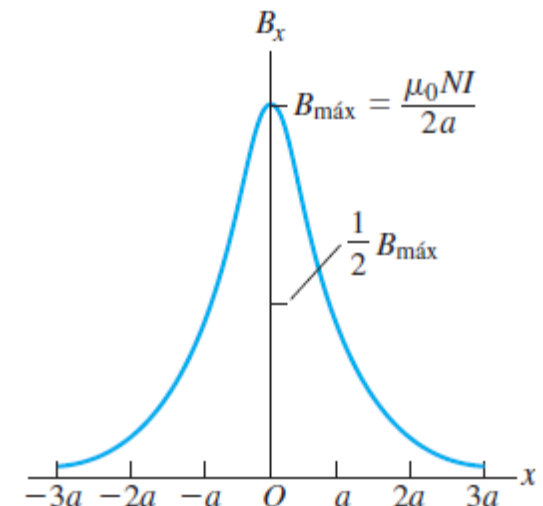
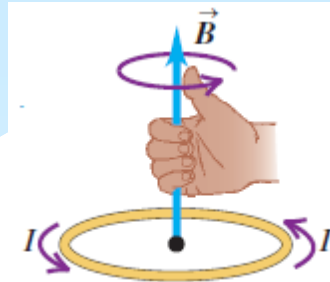


Exemplo 8 Campo de indução magnética sobre o eixo de uma bobina

Considere N espiras de mesmo raio enroladas de modo compacto, de tal forma que a distância ao centro da bobina é aproximadamente igual a distância x entre o ponto P e o plano da espira. Para esse arranjo, o campo resultante no ponto P é:

$$B_x = \frac{\mu_0 NI}{2} \frac{a^2}{(x^2 + a^2)^{3/2}}$$

O fator N é a razão pela qual se usa uma bobina em vez de uma única espira, para obter um campo magnético mais intenso. Observe que o campo é máximo no centro da bobina, $x = 0$.



Aula 14

LEI DE BIOT-SAVART

PARTE 1
